

文章编号:1004-7220(2009)03-0174-04

俯卧撑中前臂旋转对上肢肌肉电活动的影响

张希安, 聂文忠, 叶铭, 王成焘
(上海交通大学 机械与动力工程学院, 上海 200240)

摘要: 目的 分析俯卧撑中前臂旋转对上肢肌肉电活动的影响。方法 采集10个对象在前臂内旋90°(IR90), 中立位(NEU)和外旋90°(ER90)三个支撑位下肱三头肌长头和外侧头、三角肌前部和中部、胸大肌和肱二头肌的肌电信号, 计算肌电信号的均方根值, 并作归一化处理, 运用单因素方差分析法比较不同支撑位下肌电信号的差异。同时, 对一个周期内肌电信号进行包络线分析。结果 从IR90到ER90, 肱三头肌长头信号无显著变化, 肱三头肌外侧头和三角肌中部信号逐渐减小, 而三角肌前部、胸大肌和肱二头肌则逐渐增大。另外, 包络分析结果显示了3种不同类型的肌电信号曲线。结论 不同前臂转动支撑位对肌肉电活动产生影响, 而对各肌肉的影响程度和方式并不相同。

关键词: 上肢; 前臂旋转; 俯卧撑; 肌肉; 肌电; 电信号

中图分类号: R318.01 文献标志码: A

Effects from forearm-rotation during push-up on muscle electric activities of upper-limb

ZHANG Xi-an, NIE Wen-zhong, YE Ming, WANG Cheng-tao.(School of Mechanical Engineering, Shanghai Jiaotong University, Shanghai 200240, China)

Abstract: Objective To analyze forearm-rotational effects on muscle electric activities of upper-limb during push-up. **Method** The EMG of long and lateral heads of biceps brachii, anterior and medius deltoid, pectoralis major and biceps brachii for ten subjects during push-ups at three forearm rotations of internally rotated 90° (IR90), hand-neutral (NEU), and externally 90° (ER90) was collected. The root mean square (RMS) values of EMG were calculated and normalized. To determine whether there has any difference between the EMG from the three positions, a One-Way ANOVA with factor rotational position was conducted on the normalized RMS values. The EMG profiles through a cycle were also displayed. **Result** From IR90 to ER90, there was no significant difference for the long head of biceps brachii, but a decrease for the lateral head of biceps brachii and medius deltoid, and an increase for anterior deltoid, pectoralis major and biceps brachii were found. The EMG profiles showed three patterns. **Conclusions** There were differences of electric activities for the muscles during push-ups at various forearm positions. However, these changes or effects did not occur in the same way for the six muscles.

Key words: Upper limb; Forearm rotation; Push-up; Muscle; electromyography (EMG); Electric signs

俯卧撑是一项非常普及的运动, 由于不需辅助器材, 不受场地限制, 适合不同年龄段的人群, 所以

被广泛用于体质评估、上肢力量训练和康复。关于俯卧撑运动的力学与机能学研究文献主要集中于比

收稿日期:2008-11-19; 修回日期:2009-01-07

基金项目:国家自然科学基金资助项目(30530230, 30470455)

作者简介:张希安(1981-), 男, 博士, 研究方向: 人体骨肌生物力学。

通讯作者:王成焘, 教授, Tel:(021)34206097, E-mail:trib@sjtu.edu.cn。

较不同支撑位或运动强度下的关节力和肌肉电活动,Lou 等^[1]对前臂三个转动位(内旋 90°、中立位和外旋 90°)的肘关节力进行了对比研究,Gouvali 和 Boudolos^[2]分析了标准位、宽距位和窄距位等六个支撑位下,肱三头肌和胸大肌的肌电信号。据观察,少数人采用前臂内旋或外旋支撑方式进行俯卧撑运动,但缺乏前臂旋转对肌肉电活动影响的直观认识,同时至今还未见相关实验研究报道。此发现将有助于肌肉运动功能解释、运动损伤防护,为康复和力量训练合理选择支撑位提供依据。研究假设前臂转动对肌电信号的幅值产生显著影响,对前臂三个转动支撑位下的俯卧撑运动采集肌电信号,分析前臂旋转对上肢肌肉电活动的影响。

1 实验

1.1 实验对象及仪器

实验对象包括 10 个健康男性成年人,年龄(30 ± 6)岁,身高(175 ± 5)cm,体重(72 ± 10)kg,无上肢疾病史。所有对象分别作前臂内旋 90°(IR90)、中立位(NEU)和外旋 90°(ER90)情况下的俯卧撑运动。实验测量肱三头肌长头(M1)和外侧头(M2)、三角肌前部(M3)和中部(M4)、胸大肌(M5)以及肱二头肌(M6)的肌电信号,测量仪器为 AMT-8(Bortec,加拿大),电极为自粘性双电极(电极直径 1 cm,电极距离 2 cm)。同时,使用测力平台 Bertec4060-10-2000(Bertec,美国)测量地面反力。肌电信号和地面反力的放大倍数分别为 1 000 和 10,采集频率为 1 kHz^[3],所有数据以 Excel 格式保存,以便后续处理。

1.2 实验方法

实验前,根据每个实验对象标准俯卧撑双手位置,在测力平台上标定俯卧撑运动的三个支撑位。如图 1,手掌心位于标识圆内,中指与标定线平行。为了减小双脚位置对测量结果的影响,实验同时标定脚的支撑位。

电极粘贴在人体右臂待测量肌肉的肌腹表面,参照 SENIAM 协会的建议^[4],双电极的连线与肌纤维走向平行,为了去除油脂和死皮,降低皮肤阻抗,用 70% 酒精溶液和磨砂纸擦拭皮肤。采用图 2^[5]所示方法采集肌肉最大收缩(MVC)时的肌电信号,测试者在外部阻力的作用下,肌肉做最大等长收缩,信

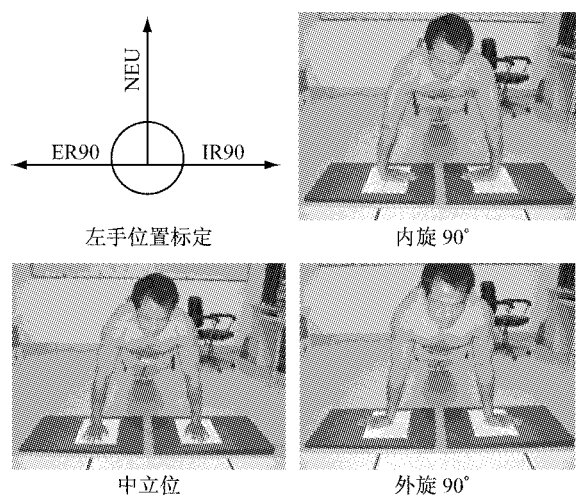


图 1 俯卧撑支撑位

Fig.1 Hand positions during push-up

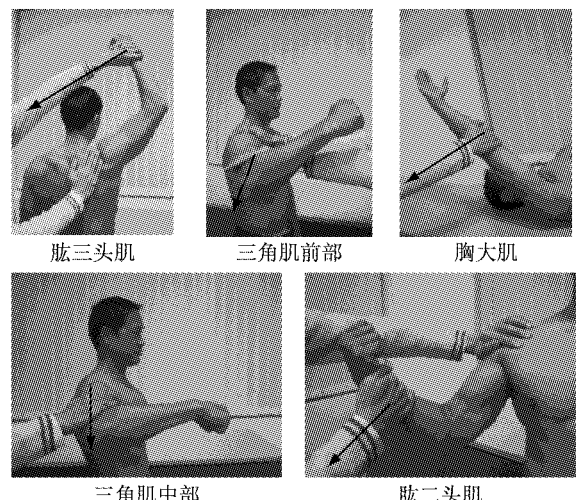


图 2 肌肉最大等长收缩,箭头表示阻力方向

Fig.2 Maximum voluntary contraction of muscle under isometric condition, the arrow indicate the direction of resistance

号采集时间为 3 s。

实验前,每个对象进行运动热身。实验要求每个对象按照正常节奏在各支撑位下做一组含 4~6 个俯卧撑,考虑到肌肉疲劳的影响,每组不同支撑位实验之间,实验对象休息 4 min 以上。每组实验从上肢直立位开始,并保持此动作 2 s,以便记录初始地面反力。

1.3 信号处理及分析

对于所有实验对象,地面垂直反力曲线形状相似。如图 3 所示,通过计算初始地面垂直反力的平

均值 ± 2 倍标准偏差($m \pm 2s$)线与垂直反力曲线的交点,可以确定各个俯卧撑周期的起点和终点。对于同一对象,计算俯卧撑运动的平均周期,再去除每组中第一个和最后一个动作周期,选取最接近平均周期值的信号进行分析。

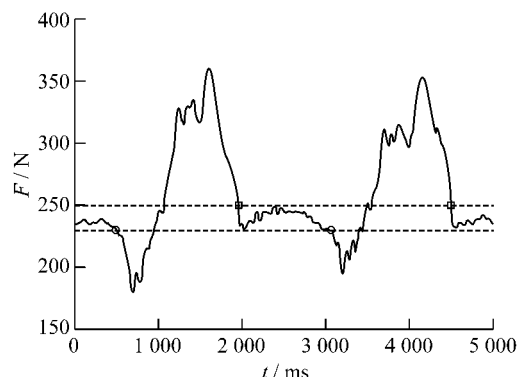


图3 地面垂直反力,○和□分别为一个周期的起点和终点

Fig.3 Vertical ground reaction force, ○ and □ mark the start and end of a push-up respectively

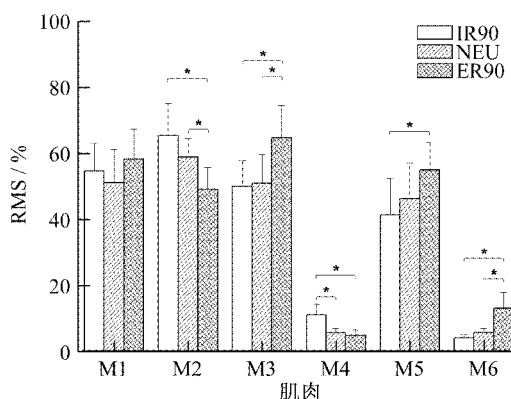


图4 归一化处理后的肌电信号均方根($m+s$, * 表示差异显著)

Fig.4 Normalized EMG root mean square ($m+s$, * significant difference)

计算肌电信号的均方根(RMS)值,用MVC肌电信号的RMS值对待分析信号的RMS值进行归一化处理,并计算各支撑位下10个实验对象的平均值和标准偏差。根据归一化处理的肌电信号,肌肉收缩程度分为较小(0%~30%)、中等(30%~70%)和显著(70%~100%)。用单因素方差分析方法分析不同支撑位对肌电信号的影响,其显著性水平设为0.05。

为了去除信号中的低频噪声,用小波滤波的方

法,高通滤波选定的原始信号^[6],再通过全波整流和巴特沃斯低通滤波(10 Hz)后加以归一化处理,然后对一个周期内的离散信号进行拟合,并且内插为100个数据点(1%~100%)^[7, 8]。将各支撑位下10个测量对象的肌电信号进行平均,得到一个周期内肌电信号的平均包络线。俯卧撑周期分为两个阶段:体位下降期(0%~50%)和体位上升期(50%~100%)。

2 结果

归一化处理后的肌电信号均方根平均值如图4所示,对于所有支撑位,M1、M2、M3和M5中等收缩,而M4和M5的值相对较小。单因素方差分析表明,三个支撑位的M1信号值没有显著差别($P > 0.05$)。M2和M4的RMS值变化趋势相似;对于M2,IR90($P < 0.01$)和NEU($P < 0.05$)的肌电值大于ER90;而对于M4,IR90的值大于NEU($P < 0.001$)和ER90($P < 0.001$)。M3和M6的结果与M2和M4相反,ER90(对于M3, $P < 0.05$,对于M6, $P < 0.001$)位的值大于IR90和NEU。对于M5,IR90位的值小于ER90($P < 0.05$)。

肌电包络曲线如图5所示,曲线类型可以分为三组:第一为M型,包括M2和M3,其中,NEU和ER90位中40%~60%周期的肌电信号变化率大于IR90,且曲线相对陡峭;第二种类型包括M1和M5,俯卧撑体位上升阶段的信号峰值远大于体位下降期的信号峰值;最后一种类型包括M4和M6,肌电信号值均小于15%,其曲线形态没有明显特征。

3 讨论

由分析结果可知,肱三头肌、三角肌前部和胸大肌的肌电信号值相对较大。俯卧撑运动包括了肘关节和肩关节的屈伸,肩关节的内收和外展。与这些运动相关的肌肉有肱三头肌、肱二头肌、三角肌和胸大肌^[9]。在俯卧撑的体位下降阶段,由于身体重量的作用,肘关节屈曲,肩关节伸展并外展。为了平衡体重,控制身体下降速度,肱三头肌、三角肌以及胸大肌进行离心收缩,而体位上升阶段,这些肌肉做向心收缩。此实验结果表明,肱三头肌、三角肌前部和胸大肌为俯卧撑运动的主要发力肌肉。

对于肱三头肌外侧头、三角肌前部和中部、胸大

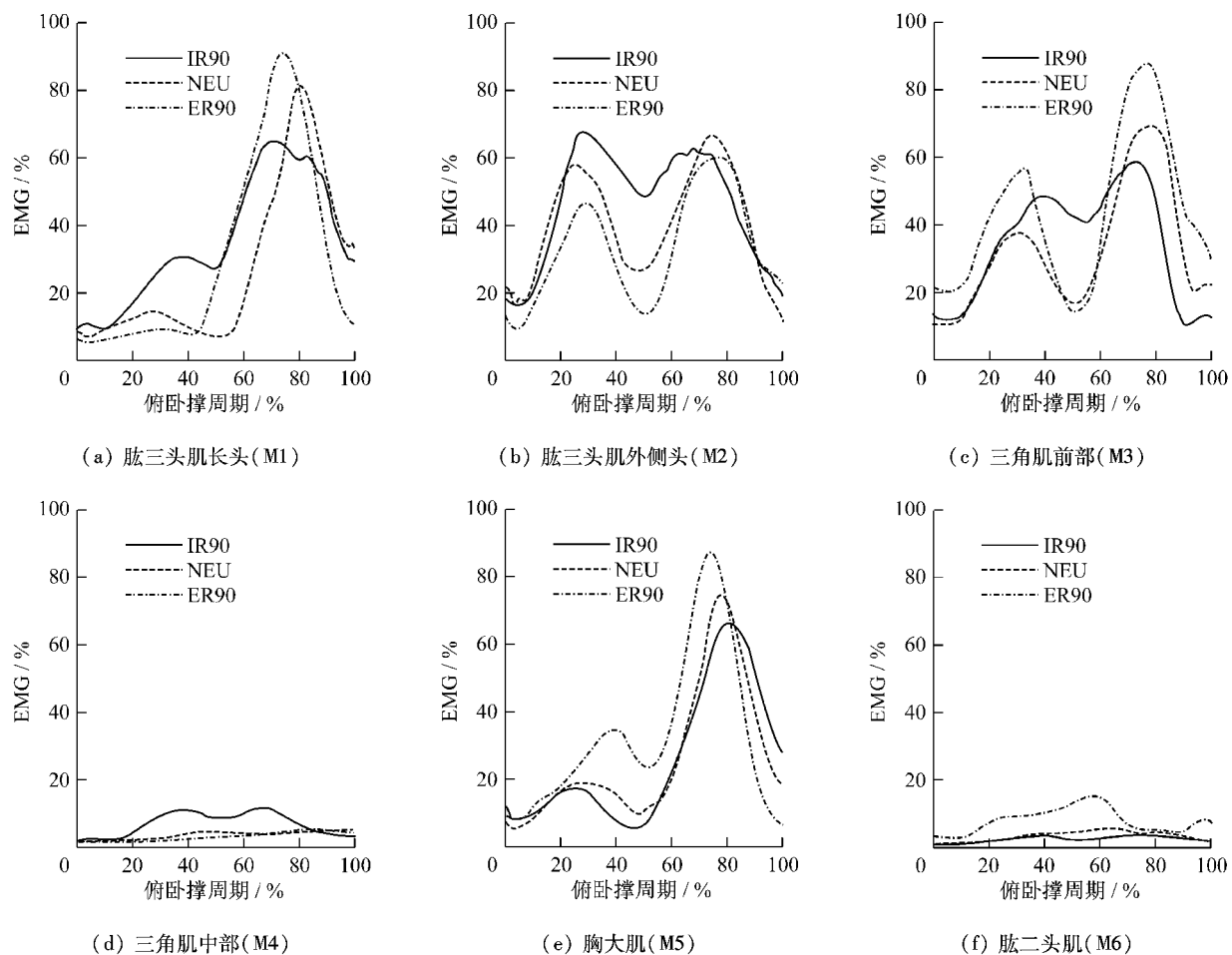


图5 肌电信号包络曲线

Fig.5 Envelope of EMG

肌以及肱二头肌,本研究假设成立。从支撑位 IR90 到 ER90 分别对应前臂的旋前和旋后,肱二头肌为旋后肌和屈肌,前臂旋后的情况下屈曲作用更为明显,这就导致肱二头肌在 ER90 位的肌电信号远大于其它支撑位的值。三角肌中部的主要作用是带动肩关节做外展运动,肩关节在 IR90 位主要做内收和外展运动,所以三角肌中部在 IR90 位的信号值大于 ER90 和 NEU。同样,在 ER90 位,肩关节主要做屈伸运动,所以此支撑位的肌电信号值相对较大。

正常情况下,肌肉活动程度都是中等以下,即肌肉应力小于极限值,没有拉伤的危险。前臂内外旋可以增大或减少肌电活动,可根据训练要求,选择相应的支撑位,但考虑到前臂内旋情况下,肘关节的剪切力很大^[1],俯卧撑中应尽量避免前臂内旋支撑。

从图 6 可知,同一个周期开始和结束点的肌电

信号值偏差较大,这主要由两个方面因素引起的:首先,地面反力的测量误差以及周期起止点确定标准的误差,导致周期起止点存在偏差;其次,由于低通滤波的作用而使信号产生时移^[10],本文主要分析肌电信号的幅值,所以信号的时移可以忽略。

实验中没有规定统一的运动速度,仅要求各实验对象按各自的正常节奏进行俯卧撑运动。个体运动速度存在差异,这就可能导致个体间肌电信号的变化^[11]。本文没有定量分析此因素的影响,只是对肌电信号进行内插和平均处理。关于运动速度对肌电信号的影响,还有待后续更深入的研究来完善。另外,本实验对象均为男性,后续研究可以包括部分女性对象,并且可以进一步比较不同性别之间的肌电信号差别。

(下转第 188 页)